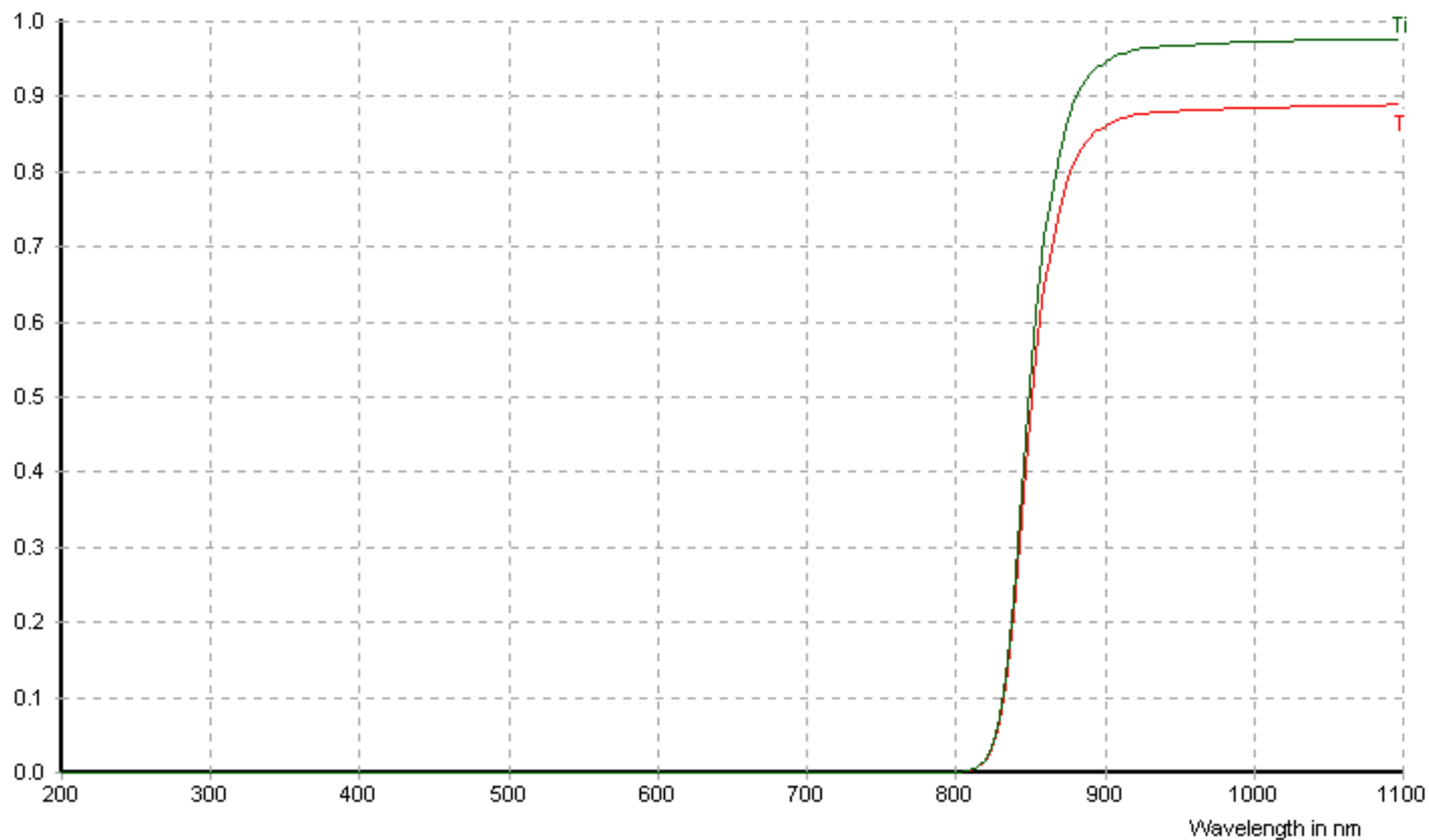


Thickness in mm : 3.0  
Wavelength in nm :  
Transmittance :  
Internal Transmittance :

**RG 850**

**SCHOTT**  
TOTAL CUSTOMER CARE



**Reflection factor**
 $P_d$  0.91

**Bubble content**

Bubble class 3

**Chemical resistance**

FR class 5

SR class 53.4

AR class 1.0

**Density**
 $\rho$  [g/cm<sup>3</sup>] 2.93

**Transformation temperature**
 $T_g$  [°C] 571

**Thermal expansion**
 $\alpha_{-30/+70^\circ\text{C}}$  [10<sup>-6</sup>/K] 9.5

 $\alpha_{20/300^\circ\text{C}}$  [10<sup>-6</sup>/K] 10.5

**Temperature coefficient**
 $T_k$  [nm/°C] 0.24

Per DIN 58191

LP 850

Per DIN 58191

Colloidally colored glass

**Tolerances for long pass filters**

 for thickness  $d = 3$  mm

 $\lambda_C$  ( $\tau_i = 0,5$  mm) [nm] 850±9

 $\lambda_S$  ( $\tau_{iS} = 1 \cdot 10^{-5}$ ) [nm] 700

 $\lambda_{p1}$  ( $\tau_{ip1} = 0,90$ ) [nm] 950

 $\lambda_{p2}$  ( $\tau_{ip2} = 0,97$ ) [nm] 1200

**Refractive index n**

$\lambda$ [nm]	Element	n
587.6	He	1.56
852.1	Cs	1.55
1014	Hg	1.55

**Tristimulus values**

	d	x	y	Y	$\lambda_d$	$P_e$
	[mm]				[nm]	
A	1					
2856	2					
K	3					
	5					
	1					
3200	2					
K	3					
	5					
	1					
$D_{65}$	2					
	3					
	5					

**Transmittance  $\tau$  and internal transmittance  $\tau_i$  at  $d = 3$  mm**

$\lambda$ [nm]	$\tau$	$\tau_i$	$\lambda$ [nm]	$\tau$	$\tau_i$
550	<1·10 <sup>-5</sup>	<1·10 <sup>-5</sup>	1050	0.89	0.98
560	<1·10 <sup>-5</sup>	<1·10 <sup>-5</sup>	1060	0.89	0.98
570	<1·10 <sup>-5</sup>	<1·10 <sup>-5</sup>	1070	0.89	0.98
580	<1·10 <sup>-5</sup>	<1·10 <sup>-5</sup>	1080	0.89	0.98
590	<1·10 <sup>-5</sup>	<1·10 <sup>-5</sup>	1090	0.89	0.98
600	<1·10 <sup>-5</sup>	<1·10 <sup>-5</sup>	1100	0.89	0.98
610	<1·10 <sup>-5</sup>	<1·10 <sup>-5</sup>	1110	0.89	0.98
620	<1·10 <sup>-5</sup>	<1·10 <sup>-5</sup>	1120	0.89	0.98
630	<1·10 <sup>-5</sup>	<1·10 <sup>-5</sup>	1130	0.89	0.98
640	<1·10 <sup>-5</sup>	<1·10 <sup>-5</sup>	1140	0.89	0.98
650	<1·10 <sup>-5</sup>	<1·10 <sup>-5</sup>	1150	0.89	0.98
660	<1·10 <sup>-5</sup>	<1·10 <sup>-5</sup>	1160	0.89	0.98
670	<1·10 <sup>-5</sup>	<1·10 <sup>-5</sup>	1170	0.89	0.98
680	<1·10 <sup>-5</sup>	<1·10 <sup>-5</sup>	1180	0.89	0.98
690	<1·10 <sup>-5</sup>	<1·10 <sup>-5</sup>	1190	0.89	0.98
700	<1·10 <sup>-5</sup>	<1·10 <sup>-5</sup>	1200	0.89	0.98
710	<1·10 <sup>-5</sup>	<1·10 <sup>-5</sup>	1300	0.89	0.98
720	<1·10 <sup>-5</sup>	<1·10 <sup>-5</sup>	1400	0.89	0.98
730	<1·10 <sup>-5</sup>	<1·10 <sup>-5</sup>	1500	0.89	0.98
740	<1·10 <sup>-5</sup>	<1·10 <sup>-5</sup>	1600	0.89	0.98
750	<1·10 <sup>-5</sup>	<1·10 <sup>-5</sup>	1700	0.89	0.98
760	<1·10 <sup>-5</sup>	<1·10 <sup>-5</sup>	1800	0.89	0.98
770	<1·10 <sup>-5</sup>	<1·10 <sup>-5</sup>	1900	0.89	0.98
780	<1·10 <sup>-5</sup>	<1·10 <sup>-5</sup>	2000	0.88	0.97
790	<1·10 <sup>-5</sup>	<1·10 <sup>-5</sup>	2100	0.88	0.97
800	5·10 <sup>-4</sup>	5·10 <sup>-4</sup>	2200	0.87	0.96
810	0.003	0.003	2300	0.86	0.95
820	0.01	0.02	2400	0.86	0.94
830	0.06	0.07	2500	0.85	0.93
840	0.21	0.23	2600	0.82	0.90
850	0.45	0.50	2700	0.76	0.83
860	0.65	0.71	2800	0.14	0.15
870	0.74	0.82	2900	0.07	0.08
880	0.81	0.89	3000	0.05	0.05
890	0.84	0.93	3200	0.03	0.03
900	0.86	0.94	3400	0.03	0.03
910	0.87	0.96	3600	0.02	0.02
920	0.88	0.96	3800	0.02	0.02
930	0.88	0.97	4000	0.05	0.05
940	0.88	0.97	4200	0.04	0.04
950	0.88	0.97	4400	0.03	0.03
960	0.88	0.97	4600	9·10 <sup>-4</sup>	0.001
970	0.88	0.97	4800	<1·10 <sup>-5</sup>	<1·10 <sup>-5</sup>
980	0.88	0.97	5000	<1·10 <sup>-5</sup>	<1·10 <sup>-5</sup>
990	0.88	0.97	5200	<1·10 <sup>-5</sup>	<1·10 <sup>-5</sup>
1000	0.89	0.97			
1010	0.89	0.97			
1020	0.89	0.97			
1030	0.89	0.98			
1040	0.89	0.98			